

Студ. К. А. Чайка; магистрант А.В. Пянко

Науч. рук. доц., канд. хим. наук В.В. Жилинский  
(кафедра химии, технологии электрохимических производств  
и материалов электронной техники, БГТУ)

## **ОСАЖДЕНИЕ ХЕМОРЕЗИСТИВНЫХ СЛОЕВ НА ПОРИСТЫЕ МАТРИЦЫ ОКСИДОВ Sn, Zn, Bi**

Наиболее распространенным газочувствительным материалом является диоксид олова, обладающий высокой адсорбционной способностью, термической и химической устойчивостью [1]. Ввиду недостаточной чувствительности диоксида олова и отсутствия у него селективности к газам различной химической природы, в его состав дополнительно вводят различные модификаторы, оказывающие положительное влияние на адсорбционно-катализитические и электронные свойства и выступающие как активаторы сорбционных процессов [2]. Повысить чувствительность хеморезистивных сенсоров также можно за счет увеличения площади взаимодействия молекул адсорбируемых газов с газочувствительным материалом. Одним из наиболее перспективных подходов является увеличение эффективной площади газочувствительных слоев при формировании тонких пленок на поверхности диэлектрических структурированных матриц [3].

Наиболее подходящим материалом для формирования структурированных газочувствительных слоев является пористый анодный оксид алюминия (АОА), обладающий уникальной ячеисто-пористой структурой, хорошей механической прочностью и высокими показателями жесткости, упругости и износостойкости.

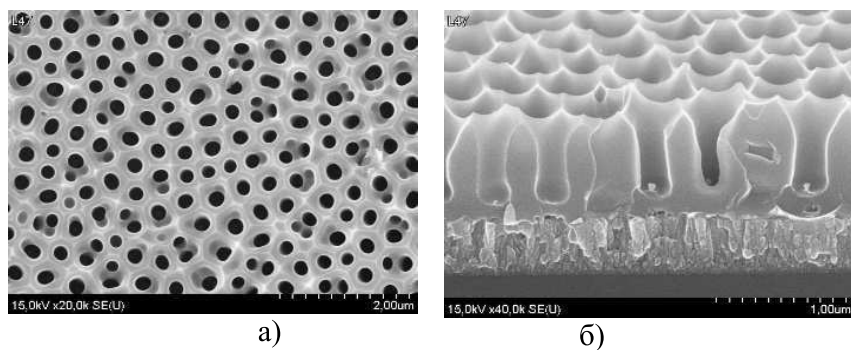
Формирование АOA проводили в электрохимических условиях, обеспечивающих размер и профиль пор, позволяющий равномерно заполнить матрицу газочувствительным материалом. В качестве исходных образцов использовали кремниевые подложки n-типа проводимости ( $4,5 \text{ Ом}\cdot\text{см}$ ) с кристаллической ориентацией (111), на которые методом магнетронного напыления в вакууме был нанесен слой Al толщиной 1,2 мкм. Матрицу АOA формировали методом двухстадийного электрохимического анодирования в 0,4 М водном растворе винной кислоты при плотности анодного тока  $6 \text{ мА}/\text{см}^2$ . Напряжение стационарного роста пористого оксида составляло 200 В. Сформированный на первой стадии анодирования слой пористого оксида толщиной 0,5 мкм селективно удаляли в нагретом до  $80^\circ\text{C}$  водном растворе хромового ангидрида и ортофосфорной кислоты, в результате чего поверхность непроанодированного алюминия была структурирована отпечатками оксидных ячеек. На структурированной поверхности алю-

Секция химической технологии и техники миния формировали упорядоченный слой АОА в электрохимических условиях, аналогичных первой стадии. Схематически этапы формирования АОА показаны на рис. 1.



**Рисунок 1 – Формирование матрицы АОА**

Фотографии поверхности и скола сформированных АОА матриц приведены на рис. 2.



**Рисунок 2 – Поверхность (а) и скол (б) АОА матрицы**

Химическое наполнение пористой структуры АОА ( $4 \text{ см}^2$ ) осуществляли путем послойного осаждения гидроксидов металлов из подщелаченных растворов  $0,01 \text{ M}$   $\text{ZnSO}_4$  и  $\text{SnSO}_4$  при  $\text{pH} 8$ . Количество слоев гидроксидов олова и цинка, соосажденных на поверхность АОА, не превышало 4. Полученные таким образом слои гидроксидов металлов на поверхности АОА после естественной сушки подвергали отжигу при температуре  $750^\circ\text{C}$  до полного перехода  $\text{Sn}^{+2}$  в  $\text{Sn}^{+4}$  и формировании смешанного оксида  $\text{SnO}_2 \cdot \text{ZnO}$ .

В ряде случаев хеморезистивные слои на основе  $\text{SnO}_2$  получали электрохимическим окислением ионов  $\text{Sn}^{2+}$  в водных растворах на поверхности АОА (рис. 3). Электрохимическое наполнение пористой структуры АОА оксидом олова осуществляли путем анодного окисления  $\text{Sn}^{2+}$   $\text{Sn}^{4+}$  в растворе  $\text{SnSO}_4$ . Далее образцы отжигались при  $750^\circ\text{C}$ .

Микрофотография шлифа поверхности образца после химического наполнения АОА  $\text{SnO}_2 \cdot \text{ZnO}$  приведена на рис. 4.

На микрофотографии микрошлифа, наполненного оксидами  $\text{SnO}_2$  и  $\text{ZnO}$  (рис. 4, а) видно преобладание сквозного наполнения пористой структуры АОА. Наименьший диаметр поры после заполнения составлял 40 нм. Степень зарастывания=60,3%.

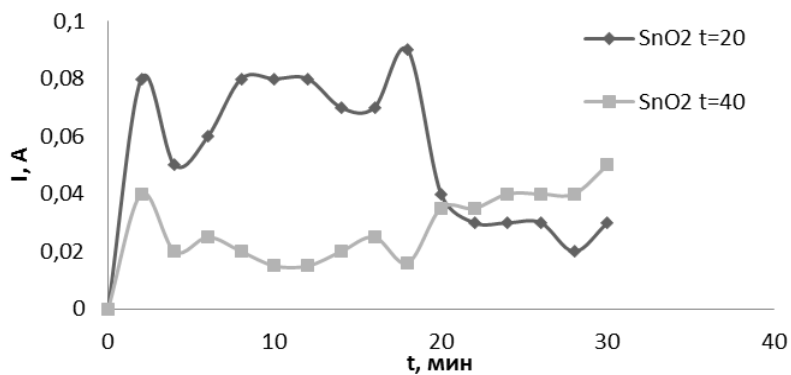


Рисунок 3 – Хроноамперограмма процесса заполнения пористой матрицы АОА оксидом олова(IV) из 0,01 M  $\text{SnSO}_4$  (pH 2)

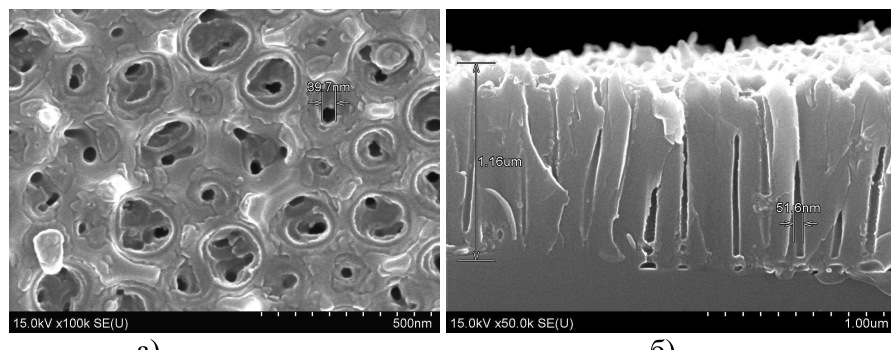


Рис. 4 - Микрофотографии поверхности образца (а) и микрошлифа (б) АОА матрицы, заполненной оксидами  $\text{SnO}_2$  и  $\text{ZnO}$

Микрофотографии АОА с пленкой  $\text{Bi}_2\text{O}_3$  представлены на рисунке 5:

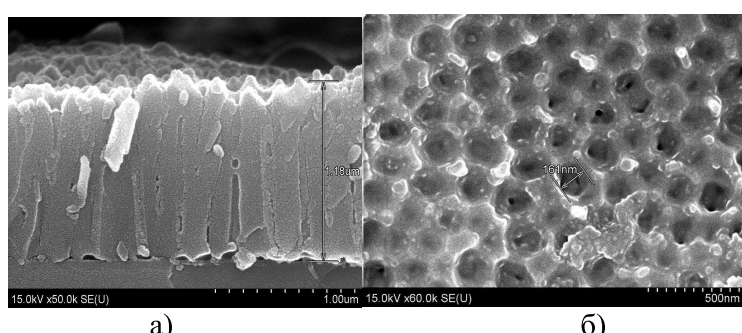


Рис. 5 - Микрофотографии поверхности образца (а) и (б) АОА матрицы, заполненной оксидом  $\text{Bi}_2\text{O}_3$

Очевидно, что при химическом наполнении АОА пленкой  $\text{Bi}_2\text{O}_3$  наблюдается сквозное наполнение. Степень заращивания 88,75%.

Тестирование газового сенсора проводилось с использованием тестовой структуры и путем получения откликов на  $\text{NO}_2$  поверхности с наноструктурированным оксидом олова в порах АОА (рис.6).

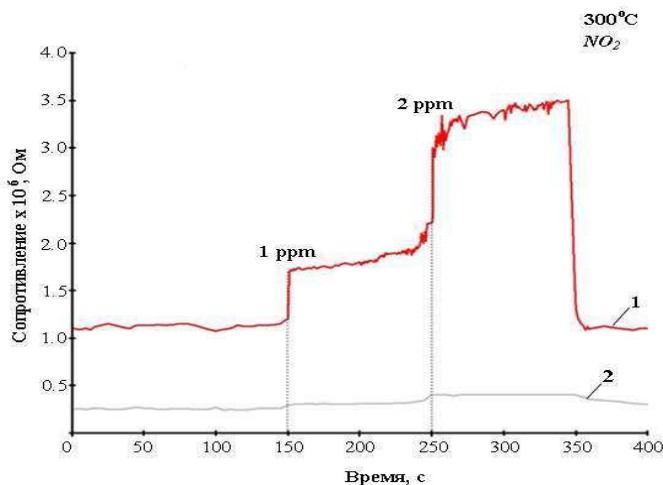


Рис. 6 - Отклики на  $NO_2$  структурированных (1) и гладких (2) пленок  $SnO_2\cdot ZnO$

В ходе экспериментов определены оптимальные условия, сочетающие стабильность и достаточно высокой чувствительностью полученных сенсоров. Изучено кинетика процесса сорбции и десорбции газов на поверхности тонких пленок  $SnO_2\cdot ZnO$ . Структурированные газочувствительные пленки  $SnO_2\cdot ZnO$ , сформированные электрохимическим окислением ионов  $Sn^{2+}$  и химическим осаждением  $ZnO$ , показали приемлемые отклики на  $NO_2$  с максимальной чувствительностью при температуре  $450^\circ C$ .

#### ЛИТЕРАТУРА

1. Anodic formation of low-aspect-ratio porous alumina films for metal-oxide sensor application / G. Gorokh [et al.] // Electrochimica Acta. – 2006. – Vol. 52. – P. 1771–1780.
2. Аверин И. А., Карманов А. А., Мошников В. А., Печерская Р. М., Пронин И. А. Особенности синтеза и исследования нанокомпозитных плёнок, полученных методом золь-гель-технологии // Известия высших учебных заведений. Поволжский регион. Физико-математические науки. — 2012. — № 2. — С. 155–163;
3. Пронин И. А. Управляемый синтез газочувствительных пленок диоксида олова, полученных методом золь-гель-технологии // Молодой ученый. — 2012. — № 5. — С. 57–60;